

УДК 523.3-1/-8

Сейсмоакустические поля и электромагнитное (нетепловое) излучение Луны

O.B. Хаврошкін¹, V.V. Циплаков¹, A.A. Бережной², A.E. Вольвач³, L.N. Вольвач³

¹ Институт физики Земли им. О.Ю. Шмидта РАН, Москва, Россия

² Государственный астрономический институт им. Штернберга, Московский государственный университет им. Ломоносова, Москва, Россия

³ Лаборатория радиоастрономии НИИ “Крымская астрофизическая обсерватория”,
РТ-22, Ялта, АР Крым, Украина
volvach@ukrpost.ua

Поступила в редакцию 1 августа 2011 г.

Аннотация. С целью изучения радиоизлучения Луны с помощью 22-метрового радиотелескопа РТ-22 НИИ “КрАО” проведены наблюдения Луны в момент максимума метеороидного потока и в момент без внешних воздействий во время лунного затмения. Проведена статистическая обработка полученных наблюдательных данных. Определено, что экзо- и эндогенные процессы на Луне отображаются как в сейсмоэмиссионных полях, так и в нетепловом электромагнитном излучении Луны. Оба класса сигналов находятся в корреляционной связи. Сейсмические процессы и процессы электромагнитного излучения имеют общие периодичности, часть из которых определяется внутренним строением Луны. Аналогичные закономерности следует ожидать и для других небесных тел Солнечной системы.

SEISMO-ACUSTIC FIELDS AND NON-THERMAL ELECTROMAGNETIC RADIATION FROM THE MOON, by O.B. Chavroshkin, V.V. Tsiplakov, A.A. Berezhnoj, A.E. Volvach, L.N. Volvach. For deeper understanding of the nature of non-thermal radio emission radio observations of the Moon were performed during the total lunar eclipse and maximum of the Geminid meteor shower. Obtained observational data were analyzed statistically using modern methods of data analysis. Interpretation of obtained results was performed using the non-linear seismology of the Earth and Moon as well as observations. Exogenic and endogenic processes on the Moon can be studied by studies of seismic acoustic emissional poles and non-thermal electromagnetic emission of the Moon. Both types of signals correlate well. Seismic and electromagnetic processes have similar periodicities, some of them are determined by the internal structure of the Moon. Similar behavior is expected for other bodies of the Solar system. Monitoring and analysis of non-thermal radio emission of the Moon with radio telescopes are very useful for studies of the Moon.

Ключевые слова: сейсмоакустическая эмиссия, выбросы эмиссии, электромагнитное излучение среды, общность лунной и земной эмиссий, импакты

1 Введение

Известны положительные результаты по поиску и регистрации амплитудно-временных изменений (модуляции) радиотеплового микроволнового излучения Луны, совпадающих по времени с динамическими, сейсмическими процессами в литосфере и обусловленными ударными (импактными) воздействиями (Хаврошкін и др., 2001; Бережной и др., 2000; Бережной и др., 2001). Вероятно, физический механизм модуляции – нетепловой природы и обусловлен электромагнитным излучением (ЭМИ) горных пород, возникающим при нагружении, разрушении, деструкции и перестройке их микроструктуры, как и в случае трибо- или кандолюминесценции (Хаврошкін и др., 2000; Физическая энциклопедия, 1990). В рамках механики горных пород и физики разрушения геофизические механизмы ЭМИ подробно рассмотрены (Сурков, 2000), их можно дополнить только, в случае Луны, вариациями пористости (теплопроводности) реголита и возможностью модулировать собственный тепловой поток, а следовательно и микроволновое излучение. Радикальные отличия Луны как небесного тела, по сравнению с Землей, позволяют предполагать также лунный механизм электромагнитных эффектов, особенно в оптической и рентгеновской частях спектра. Радиоизлучение Луны – давний предмет научного поиска (Кротиков и Троицкий, 1963). Авторами рассматривались как традиционные модели ЭМИ, так и современные (Гохберг, 1995; Гриналски и др., 2004). С течением времени произошло накопление наблюдательных данных (Хаврошкін и др., 2001; Бережной и др., 2001; Гриналски и др., 2004; Бережной и др., 2002; Хаврошкін и Цыплаков, 2001; Ортиз и др., 2002; Осаки и др., 2001; Такано и др., 2005; Вольвач и др., 2005; Вольвач и др., 2009).

Для изучения данного эффекта с помощью 22-метрового радиотелескопа РТ-22 НИИ “КРАО” проведены наблюдения Луны в момент максимума пылевого потока (см. табл. 1, фрагмент) и в момент практически без таких воздействий, но в условиях затмения Луны (Винпле, 1982).

Таблица 1. Сводные данные по метеороидным (газопылевым) потокам

Метеороидный поток	Возможная ассоциация (комета или астероид)	Максимум (дата)	Радианты		ZHR
			R. A.	Dec.	
Геминиды	3200 Фаэтон	13–14 дек. 2004 г.	112.3°	+32.5°	88 ± 4°
Лириды	Татчер, 1861 I	22 апр. 2007 г.	271.4°	+33.6°	13 ± 1°

Интерпретация полученных результатов проведена с привлечением как более глубоких понятий нелинейной сейсмологии Земли и Луны, так и данных наблюдений, близких по физическому смыслу (Хаврошкін, 1999; Сатоши и др., 2011; Хаврошкін и др., 2008).

Радионаблюдения Луны проводились с помощью РТ-22 в Симеизе во время полных лунных затмений 3 апреля 2007 г. и 14 декабря 2004 г. В первом случае внешние импактные воздействия на Луну могли носить только случайный и незначительный характер, доминировали приливные напряжения, а во втором, напротив, слабые приливные эффекты, но наблюдался максимум потока Геминид, и доминировали воздействия от газопылевых частиц (см. табл. 1). Соответствующая статистическая обработка могла бы выявить различие сейсмического отклика литосферы Луны в условиях квазистатического или импульсного нагружения.

2 Наблюдение полного лунного затмения 3 апреля 2007 г.

Наблюдения вариаций интенсивности радиоизлучения Луны проводились с помощью радиотелескопа РТ-22 в Симеизе (Крым) во время полного лунного затмения 3 апреля 2007 г. на длинах волн 3.6 и 13 см. Длительность регистрации вариаций уровня сигналов составила около 2-х часов, частота опроса сигналов – 100 Гц ($T = 10$ мс), полоса регистрации – 500 МГц в каждом канале.

2.1 Методика обработки данных

Получены функции среднего значения вариаций уровня интенсивности J на интервале времени $\Delta t = 1\text{c}$ (по 100 точкам) и функции среднего квадрата вариаций уровня I по 10 с по каждому из каналов. Далее полученные файлы анализировались для выявления отдельных всплесков уровня функций J , I как результата внешнего воздействия на поверхность Луны (метеороид, космические лучи, диффузная пыль, частицы высоких энергий), так и скрытых периодичностей экзо- и эндогенного характера. Затем вычислялись спектры J , I функций. На рис. 1 (a, b, c, d) представлены отфильтрованные (снят низкочастотный тренд) вариации полученных функций: среднего значения интенсивности J и среднеквадратичного отклонения I .

Для выявления внутренней структуры или скрытых периодичностей функций J , I был проведен спектральный анализ (рис. 2 а, б, с, д).

Дальнейшая обработка состояла в получении в 1 % окне функций скользящей корреляции между однотипными реализациями каждого канала, т. е. между функциями "а" и "с" и функциями "б" и "д" соответственно. Далее были получены функции взаимной корреляции между ними и спектры от функций взаимных корреляций (рис. 3 а, б, с, д).

Для более детального анализа были выделены два фрагмента вариаций среднеквадратичных отклонений с увеличенным разрешением (рис. 4 а, б).

2.2 Обсуждение результатов

Из полученных материалов отметим разные вариации на разных частотах наблюдений как на функциях средних значений, так и на функциях среднеквадратичных отклонений (рис. 1). Всплеск на одной частоте не всегда ведет к одномоментному всплеску на другой частоте. Спектры вариаций на разных каналах различны и содержат квазигармонические сигналы, природу которых необходимо исследовать. Функции скользящей корреляции в 1 % окне неустойчивы, но на временах несколько сотен секунд иногда имеют высокую значимость ($P > 0.99$). Взаимные спектры функций показывают существование квазигармонических составляющих как в функциях среднего значения, так и в функциях среднеквадратичных отклонений (рис. 3). Выделенные фрагменты с большим разрешением показывают по двум каналам выбросы амплитуд как одновременные, так и с запаздыванием (опережением) по отношению друг к другу. Такое фрагментарное запаздывание по времени не превышает несколько десятков секунд (10–30 сек). Если предположить, что диаметр пятна регистрации нетеплового электромагнитного излучения на Луне на длине волны 3.6 см на 1000 км меньше, чем диаметр пятна на длине волны 13 см, то тогда кажущаяся скорость возмущения на поверхности Луны, вызывающего радиовсплеск на обоих каналах, находится в диапазоне 30–100 км/с. Это скорости характерные для метеоров и метеорных потоков, т. е. при ударах по поверхности Луны происходит локальная деструкция приповерхностных структур литосферы, сопровождаемая ЭМИ. Другой не менее вероятный механизм излучения – в момент максимальных приливных напряжений в литосфере на значительных площадях (объемах) фрагментарно в пространстве и хаотично по времени возникают области сейсмоэмиссионной активности и ЭМИ. Такая изменчивая пространственно-временная структура и отражена на рис. 4.

Таблица 2. Спектральные пики ЭМИ Луны при затмении

	сек	мин	мин	мин	мин	мин	мин	мин	мин	мин	мин						
Луна 3.6 см	10.2	15.3		67	78.7	95.2	143.7	3.2	4.5	5.06			8.03				
Луна 13 см	10.2	15.3	30.6	36	38.3	99	120.5	2.9	3.5	4.0	5.3	6.6	9.8				
Среднеквадр. откл. 3.6 см	24.5	27.3	32.3	37.8	41.7	51.5	67	78с	122с	2.8	3.8	5.3	6	9.1	13.6	19.5	
Среднеквадр. откл. 13 см	24.3	26.5	29.1	30.6	32.3	67.1	100	117с	3.4				6	9.7	12.4	27.3	
Небо			30.6					120.5		4.26					11.3	17.06	
Контрольный источник			30.6						3.4							17.06	

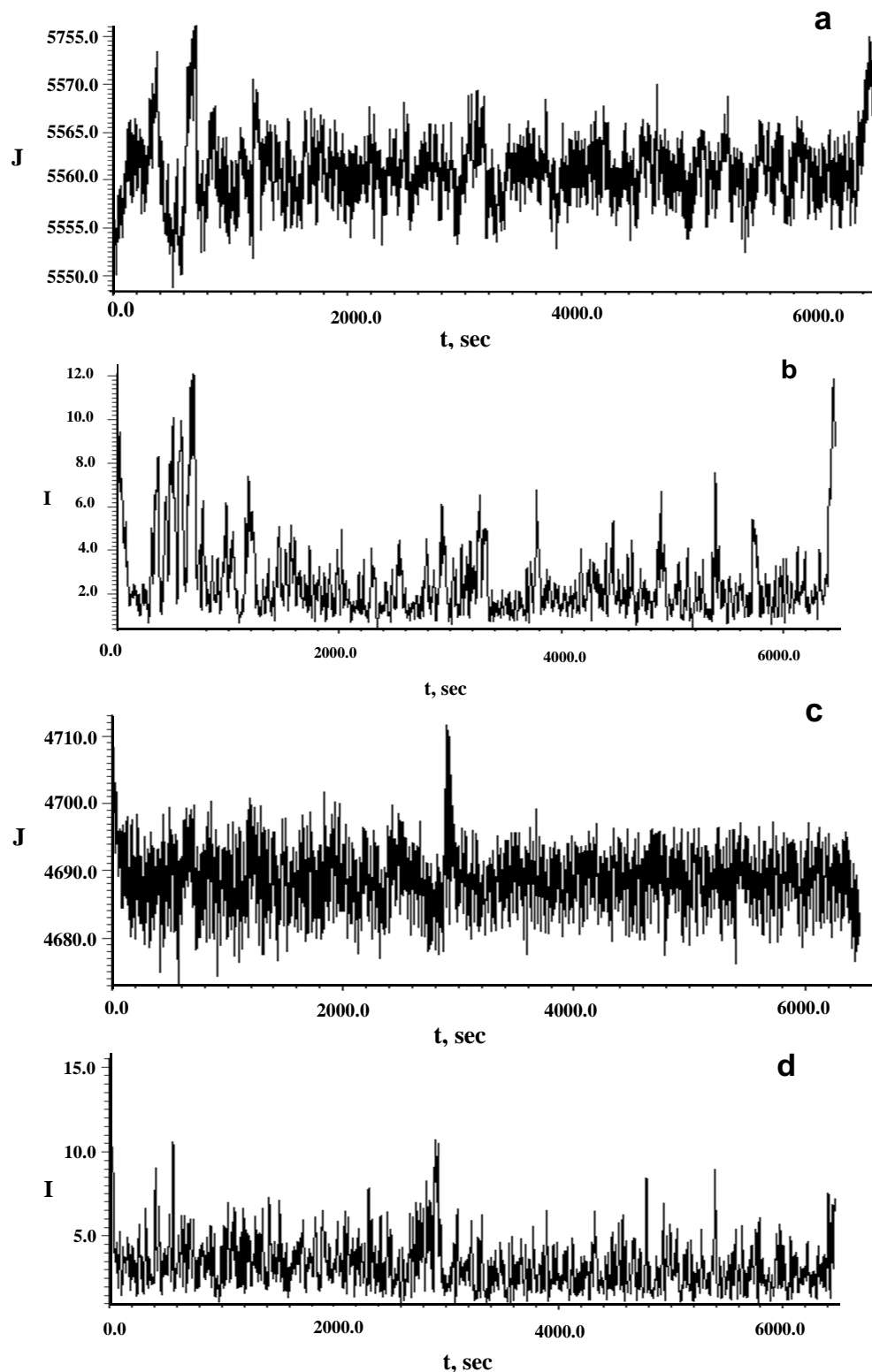


Рис. 1. Вариации среднего значения интенсивности радиоизлучения Луны (J) а), с) и среднеквадратичные вариации интенсивности (I) б), д) во время затмения на длинах волн 3.6 см (а, б) и 13 см (с, д)

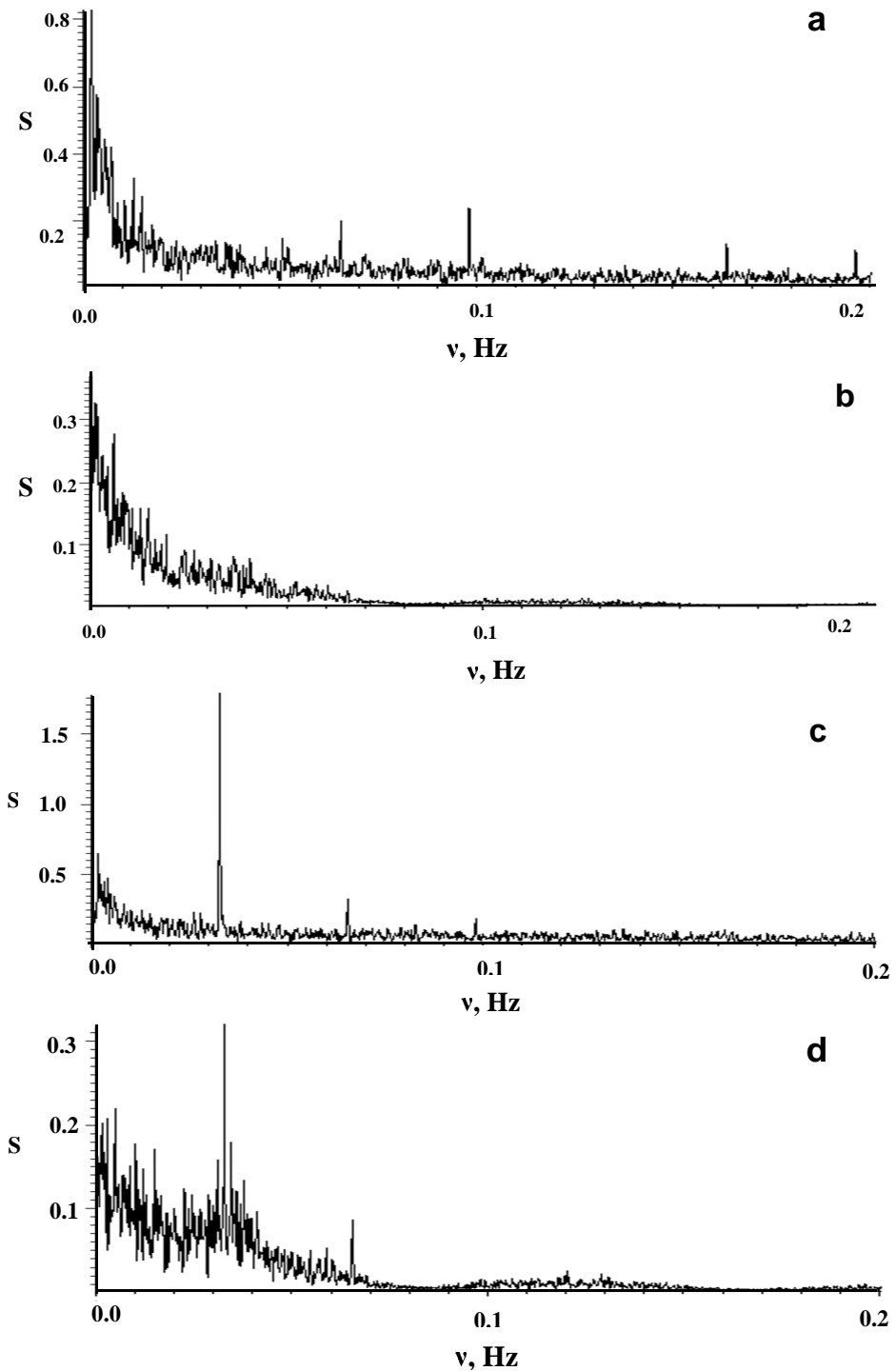


Рис. 2. Спектры вариации интенсивности (а, б) радиоизлучения Луны J и спектры среднеквадратичных вариаций I во время затмения на длинах волн 3.6 см (а, б) и 13 см (с, д)

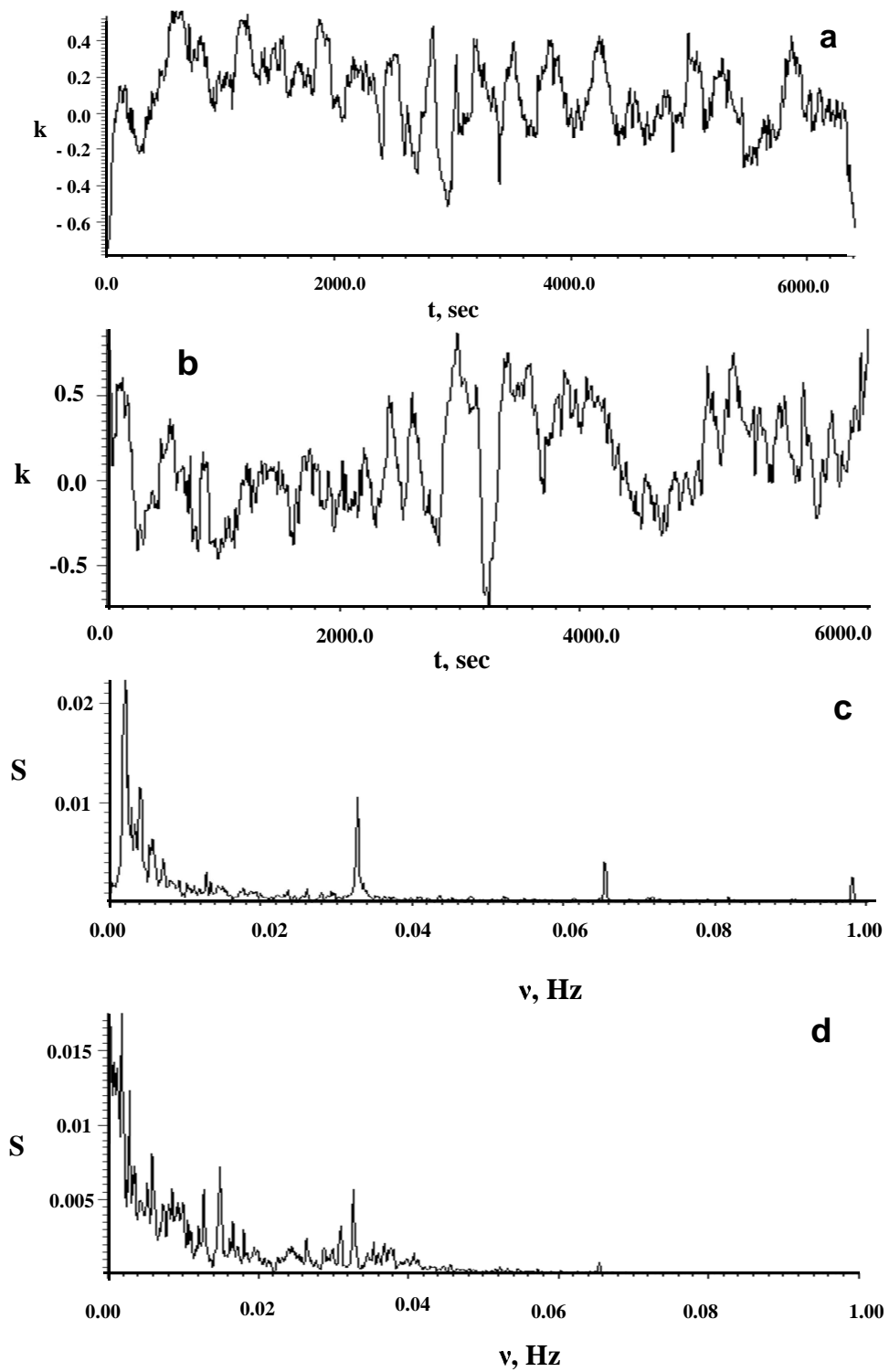


Рис. 3. Вариации скользящей корреляции интенсивности (а) радиоизлучения Луны и их огибающих (б) и их спектры (с, д) во время затмения на длинах волн 3.6 см и 13 см

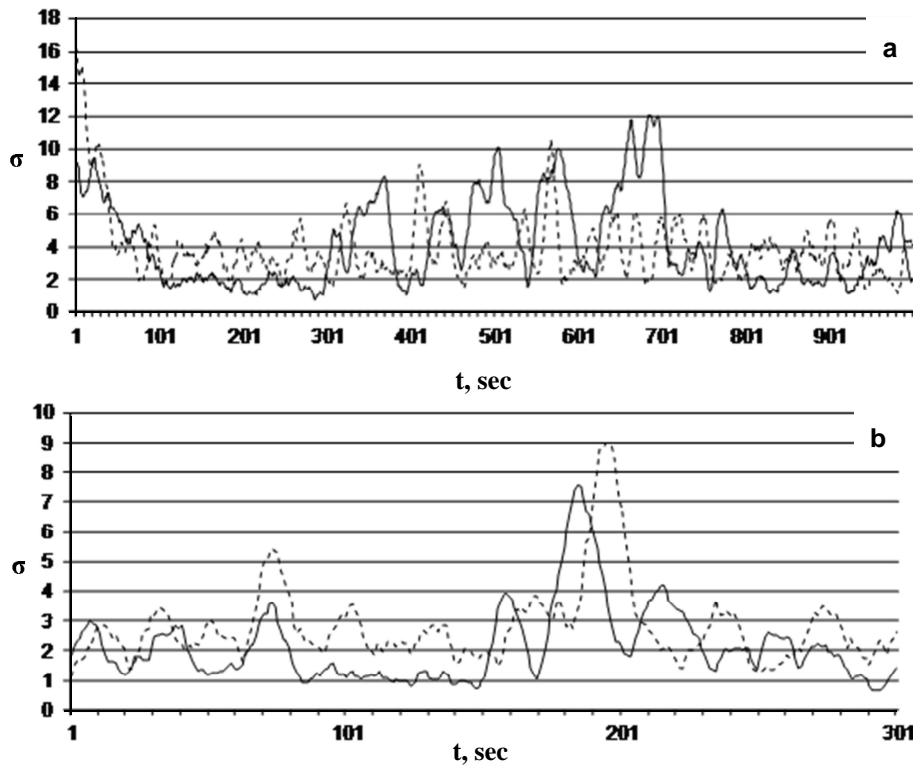


Рис. 4. Фрагмент реализации среднеквадратичных отклонений с большим разрешением; сплошная линия – запись на длине волны 3.6 см; прерывистая – на 13 см

Как всегда важна структура полученных спектров. В табл. 2 приводятся величины значимых спектральных пиков, полученных по реализациям вариаций интенсивности радиоизлучения Луны на длинах волн 3.6 см (а) и 13 см (б), вариации среднеквадратичных отклонений их интенсивностей с отфильтрованным трендом, а также вариации радиоизлучения неба и контрольного источника.

Данные табл. 2 в основном наблюдались ранее, но их достоверность дополнительно усиlena данными по регистрации излучения неба и контрольного источника (Хаврошкін и Щипляков, 2001; Бережной и др., 2000; Бережной и др., 2001; Гришакин и др., 2004; Бережной и др., 2002). Не менее важно существование пиков в ЭМИ, совпадающих с пиками, выявленными сейсмическими методами и относящимися по генезису к Луне как к небесному телу. То есть существуют совпадения периодичностей ЭМИ Луны и собственных колебаний Луны, что открывает новые аппаратурно-методические подходы дистанционного изучения Луны и планет.

3 Радионаблюдения Луны в Симеизе (максимум потока Геминид)

Наблюдения вариаций интенсивности излучения поверхности Луны проводились 14 декабря 2004 г. во время потоков Геминид с помощью 22-метрового радиотелескопа РТ-22 в Симеизе на длинах волн 3.6 см (а) и 13 см (б). Длительность регистрации вариаций уровня сигналов составляла несколько часов. Частота опроса сигналов 100 Гц ($T = 10$ мс), полоса регистрации – 500 МГц в каждом канале.

3.1 Методика обработки данных

Так как полученные файлы велики для непосредственной обработки в целом, то весь материал был разделен на 3 части (отрезка) наблюдений. Затем были получены функции среднего значения вари-

аций уровня интенсивности (по 100 точкам на интервале $\Delta t = 1c$) и функции среднеквадратичного отклонения вариаций уровня по каждому из каналов. Далее проводилась обработка полученных файлов с целью выявления как отдельных всплесков, которые могут происходить в результате внешнего воздействия на поверхность Луны (метеоров, космических лучей), так и периодичностей. Для этого были получены спектры этих функций. Кроме того, проводилась фильтрация с целью вычесть тренд, образованный техническими причинами. На рис. 5 (а, б, с, д) представлены вариации полученных функций среднего значения интенсивности J и функций среднеквадратичного отклонения I на длинах волн 3.6 и 13 см.

Таблица 3. Спектральные пики интенсивности I ЭМИ на Луне 14.12.2004 г.

Название	мин	мин	мин	мин	мин	мин	мин	мин	мин
K1_afb	15.2	8.0	5.9	4.9	4.1	3.4		2.73	1.8
K2_bfa	15.2	8.5		4.7	4.3	3.6	3.2	2.7–2.6	2.2
K3_ba	15.2	9.8	6.2	5.0	4.4	3.9–3.4	3.1	2.7	2.3

Таблица 4. Значимые спектральные пики анализа ФСК

Название	мин	мин	мин	мин	мин	мин	мин	мин	мин
K1absk	27.3	10.5	7.2	5.5	3.2		2.8–2.7	2.3	2.0–1.9
K2absk	34.2		8.1	4.3	3.5	3.0	2.6	2.3	1.5
K3absk	34.2	19.5	13.7	9.7	6.8	5.5	4.4	3.6	2.8–2.4

Таблица 5. Сводные данные по структурно-временным параметрам Луны

Структура	ΔR , км	V_p , км/с	V_s , км/с	p , мин	s , мин	T_p^e , мин	T_s^e , мин	$\Delta \bar{R}$, км	\bar{V}_p , км/с	\bar{V}_s , км/с	t_p , с	t_s , с
Кора	50–60	4–7.5	3.7–4	0.3	0.5	0.3	0.5	55	5.6	3.8	10	14
Верхняя мантия	300–400	7.7 ± 0.2	4.3 ± 0.15	1.28	2.8	1.3	2.3	350	7.8	4.3	38.5	70
Средняя мантия	900–1100	7.6 ± 0.6	4.2 ± 0.1	4.06	8.2	2.8	5.4	1000	7.8	4.0	83.5	162.3
Нижняя мантия	1400	7.5–8	3.7–3.5; 2.0	5.8	12.6	2.2	4.43	1400	7.8	3.0	51.6	132.8
Ядро	1600	7.6–8	2.0; 3.5	6.93	14.8	0.86	2.2	1600	7.8	3.0	25.8	66.4
Центр	1738			7.55	16.5	0.59	1.6	1738	7.8	3.0	17.7	45.3

Таблица 6. Пример сейсмических периодичностей на Луне после падения крупного метеороида

Название переменной (мин)	T1	T2	T3	T4	T5	T6	T7	T8	T9	T10
ио12x14				9.6	8.3	6.7		5.4	4.3	3.3
ио12y14	16.5	14.7	11.4	9.6	8.1	7.6	5.9		4.5	3.5
ио12z14	17.2	10.0		9.4		7.5			4.6	3.2
и12xyz14		15.3	10.5	9.4	8.8	8.1	7.5	6.7	5.3	3.4
ко12x14		12.5		9.6	8.3		6.2	5.5	4.4	3.5
ко12y14	19.6	14.2	10.0		6.7	5.8		4.5	3.4	
ко12z14				9.6					4.7	3.2
к12xyz14				9.6	8.3		6.2	4.7	3.2	

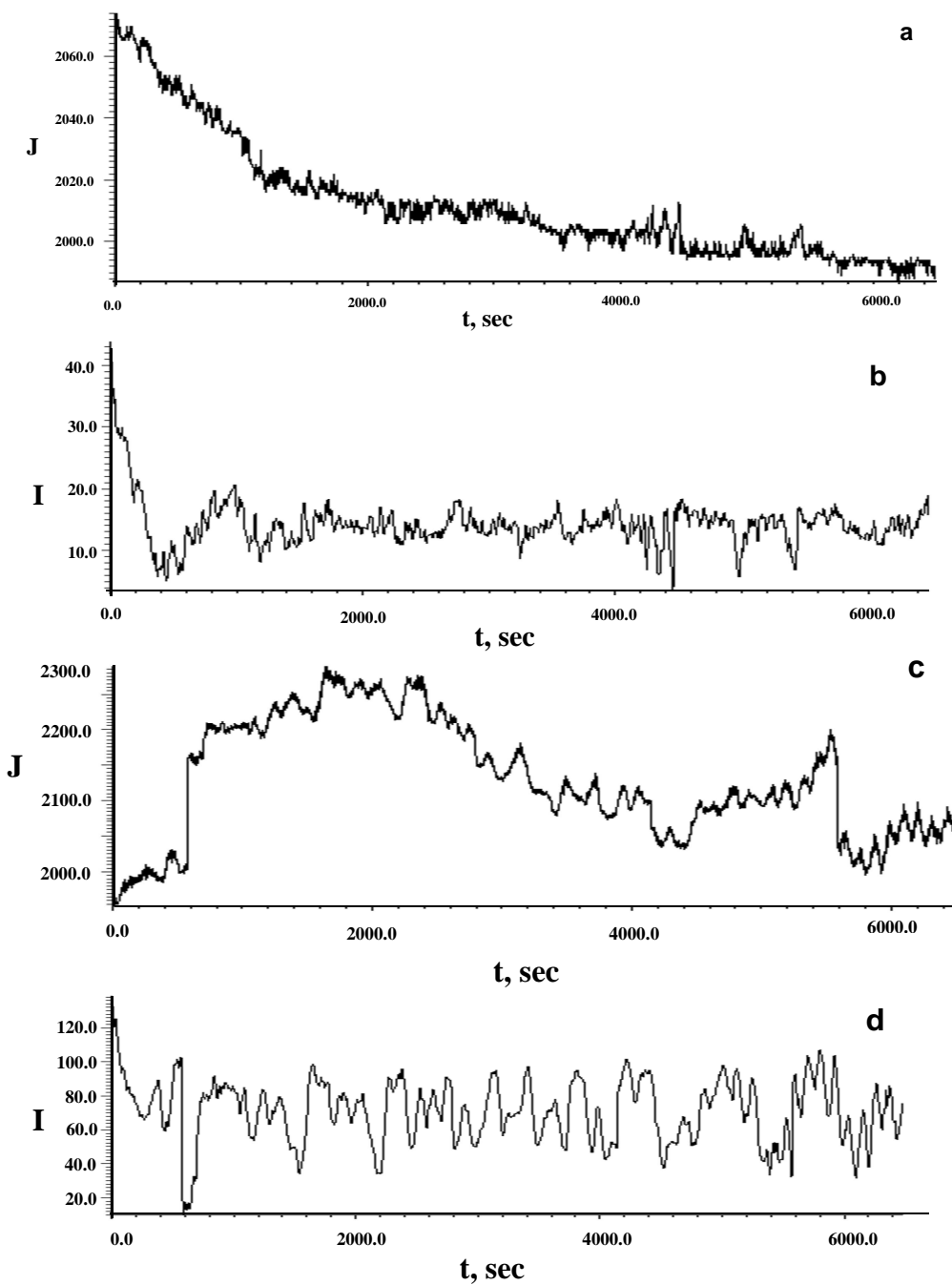


Рис. 5. Вариации средних J (а, с) и среднеквадратичных I значений (б, д) функций интенсивности радиоизлучения Луны на частотах 3.6 и 13 см на 1 отрезке наблюдений

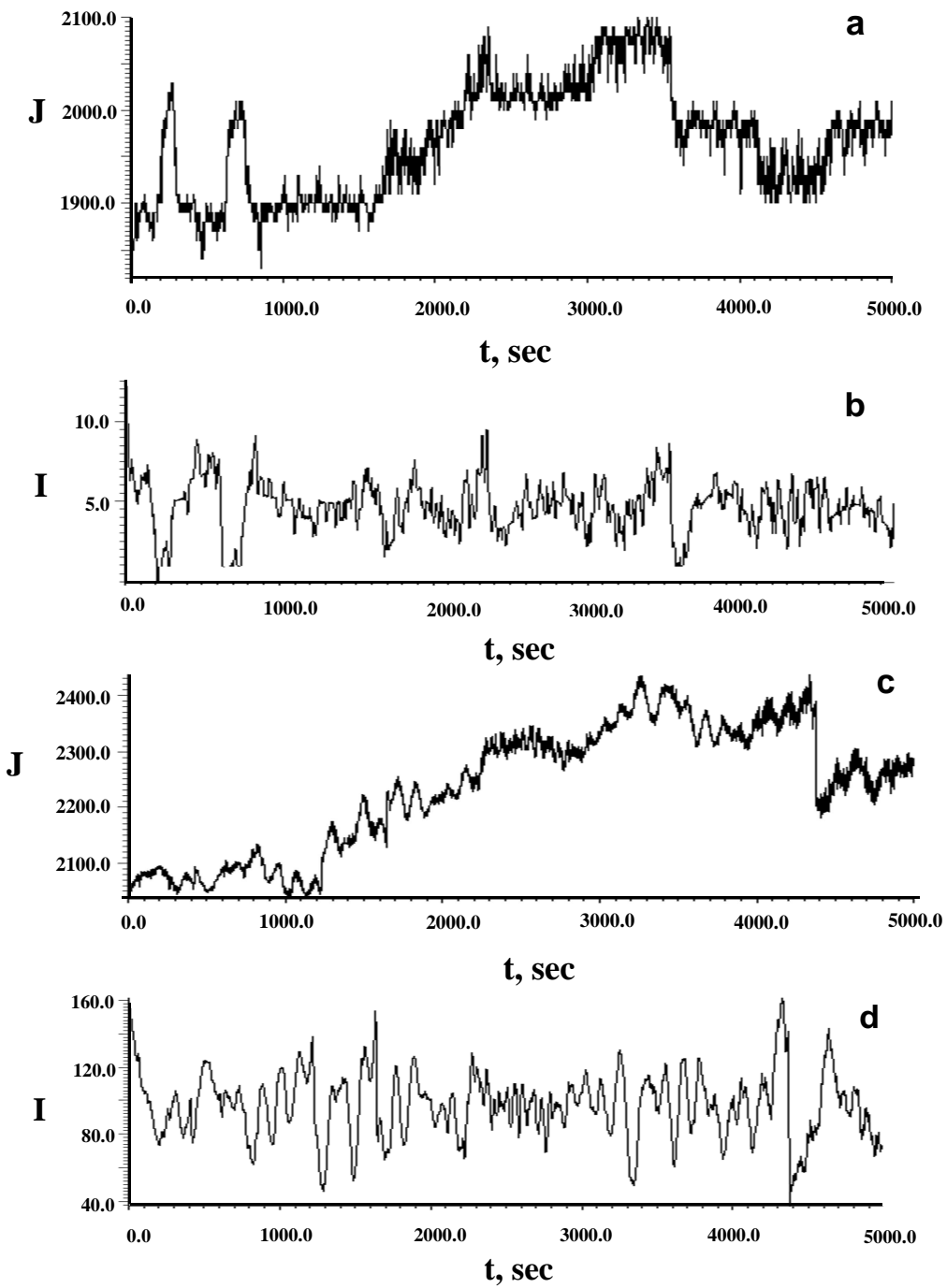


Рис. 6. Вариации средних (а, с) и среднеквадратичных значений (б, д) функций интенсивности радиоизлучения Луны на длинах волн 3.6 и 13 см на 2 отрезке наблюдений

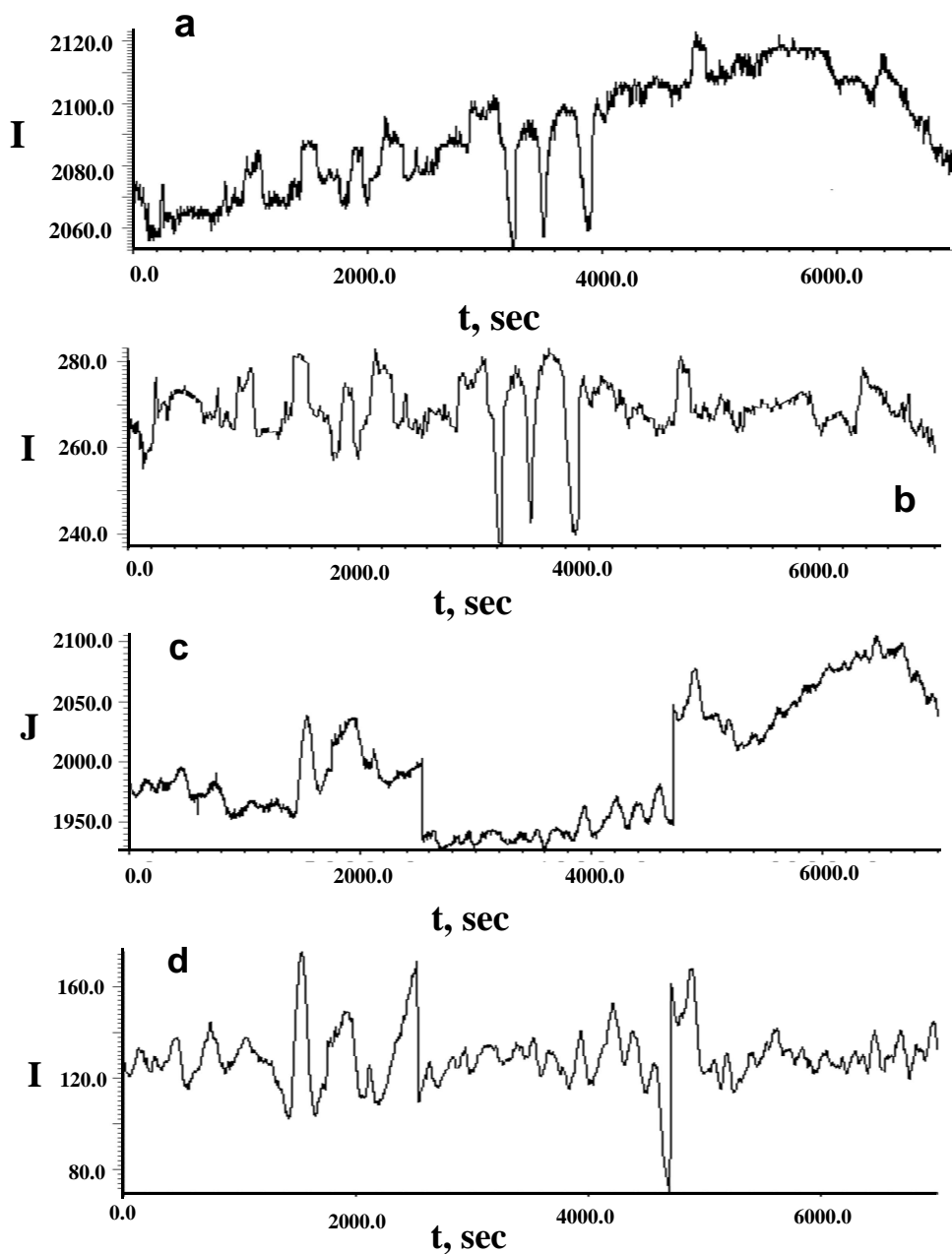


Рис. 7. Вариации средних (а, с) и среднеквадратичных значений (б, д) функций интенсивности радиоизлучения Луны на длинах волн 3.6 и 13 см на 3 отрезке наблюдений

Такие же процедуры были проведены и на других интервалах наблюдений. Эти результаты в той же последовательности, что и ранее, приведены на рис. 6 а, б, с, д и на рис. 7 а, б, с, д.

Из полученных взаимокорреляционных функций определены взаимные спектры для длин волн 3.6 см и 13 см по всем трем реализациям с целью выявления спектральных пиков одинаковых для обеих частот. В табл. 3 приводятся значения значимых взаимных спектральных пиков (в секундах, минутах), полученных по реализациям вариаций интенсивности радиоизлучения Луны на длинах волн 3.6 см (а) и 13 см (б), отфильтрованных по тренду. Последовательно даны: K1_afb – спектр взаимокорреляционной функции средних значений ab фильтрованной на а (3.6 см), K2_bfa – спектр взаимокорреляционной функции среднеквадратичных значений ab фильтрованной на б (13 см), K3_ba – спектр взаимокорреляционной функции ab нефильтрованной на ab (3.6 см, 13 см).

Затем в 1 % окне были получены функции скользящей корреляции (ФСК) между однотипными функциями каждого канала. Примеры ФСК для нефильтрованных и фильтрованных ФСК представлены на рис. 8 а, б.

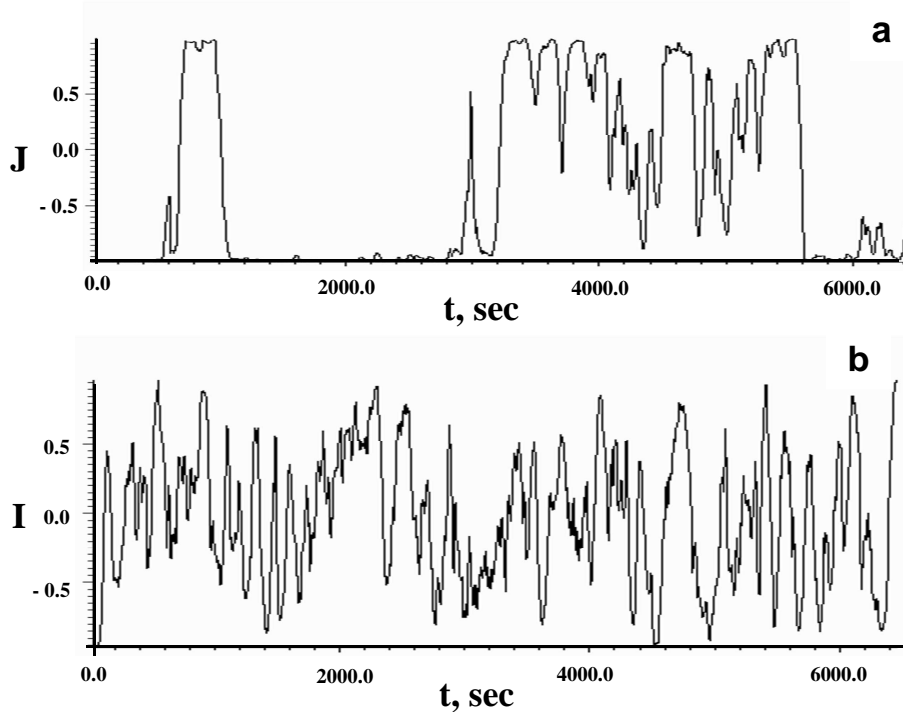


Рис. 8. Примеры нефильтрованных и фильтрованных ФСК для вариаций средних значений радиоизлучения Луны на частотах 3.6 и 13 см первого отрезка наблюдений

Далее были получены спектры функций скользящей корреляции, значимые пики которых представлены в табл. 4. Последовательно даны: K1absk – пики спектра функции скользящей корреляции в 1 % окне средних значений ab (3.6 см, 13 см), K2abfsk – пики спектра функции скользящей корреляции в 1 % окне среднеквадратичных значений ab (3.6 см, 13 см), K3absk – пики спектра функции скользящей корреляции в 1 % окне ab (3.6 см, 13 см) нефильтрованной.

В табл. 5 (Сатоши и др., 2011): 1-й столбец – элементы структуры; 2-й – мощность каждого элемента (ΔR , км); 3-й – скорость продольной волны V_p , км/с; 4-й – скорость поперечной волны (V_s , км/с); 5-й – период кратной Р-волны для системы дневная поверхность–верхняя граница структурного элемента (T_p , мин); 6-й – то же для S-волны $9T_s$ мин; 7, 8 – периоды кратных Р-, S-волн в

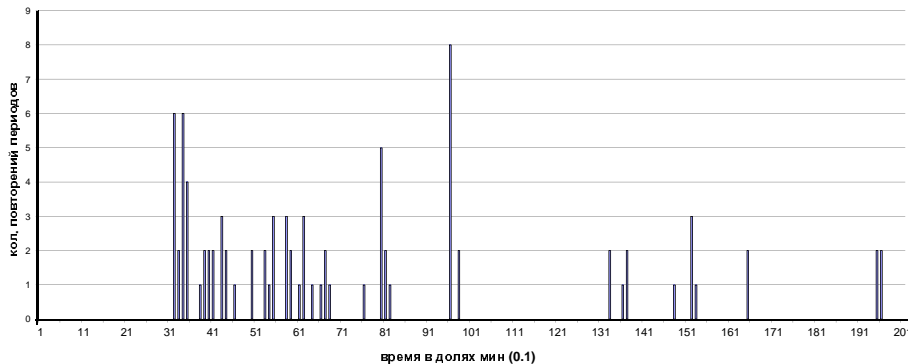


Рис. 9. Гистограмма лунных периодов

структурах (T_p^e мин, T_s^e мин); 9–11 – то же, что и 1–3 ($\Delta\bar{R}$, км, \bar{V}_p , км/с, \bar{V}_s , км/с), но усредненные; 12, 13 – время прохождения Р-, S-волн через соответствующие элементы структуры (t_p , сек, t_s , сек).

В табл. 6 (Сатоши и др., 2011) приведен пример сейсмических периодичностей на Луне, которые возникают после падения крупного метеороида.

На рис. 9 приведена гистограмма лунных периодичностей, общих для сейсмических и ЭМИ процессов на Луне.

3.2 Обсуждение результатов

Функции скользящей корреляции в 1 % окне очень неустойчивы, хотя иногда на интервалах в несколько сотен секунд и даже десятков минут показывают достаточно высокую значимость ($P > 0.99$). Удивительны изменения ФСК при применении фильтрации и снятии низкочастотного тренда. Так на рис. 4а видно, что без фильтрации наблюдаются участки длительных почти синхронных вариаций на длинах волн 3.6 и 13 см с корреляцией почти равной $K = 1$ или $K = -1$, тогда как после снятия тренда (по-видимому, образованному техническими помехами), мы наблюдаем очень частую смену корреляций и антикорреляций, что в данном случае в первую очередь связано со случайным пространственно-временным распределением метеороидов и их ударов. Более того, удары метеоритов газопылевого потока по лунной поверхности ввели заметные отличия в функции J (рис. 7а, 7с) от функций J затмения (рис. 1а, 1с).

4 Общие выводы

1. Экзо- и эндогенные процессы на Луне отображаются как в сейсмоэмиссионных полях, так и в нетепловом электромагнитном излучении Луны; оба класса сигналов находятся в корреляционной связи.
2. Сейсмические и ЭМИ процессы имеют общие периодичности, часть из которых определяется внутренним строением Луны. Аналогичные закономерности следует ожидать и для других небесных тел Солнечной системы.
3. Мониторинг и последующий анализ ЭМИ Луны с помощью радиотелескопа принципиально расширяет возможности изучения небесных тел.

Благодарности. Работа поддержана грантом ДФФД и НАН Украины – РФФД России. Авторы благодарны И.Д. Стрепке за подготовку приемной аппаратуры, М.М. Позднякову и персоналу пульта управления РТ-22 за помощь в проведении измерений.

Література

- Бережной и др. (Berezhnoi A.A., Gusev S.G., Khavroshkin O.B., et al.) // Proceedings of the Fourth International Conference on Exploration and Utilisation of the Moon./ Eds Foing B.H. and Perry. M. 2000. P. 179.
- Бережной и др. (Berezhnoi A.A., Bervalds E., Khavroshkin O.B., et al.) // Geophysical Research Abstracts. 2001. V. 3.
- Бережной и др. (Berezhnoy A., Bervalds E., Khavroshkin O., et al.) // Baltic Astronomy. 2002. V. 11. P. 507.
- Віппле (Whipple Fred L.) // Meteors and comets and interplanetary complex: The Collected contributions of Fred L. Whipple. Smithsonian Astrophysical Observatory. Cambridge. Massachusetts. 1972. V. 1.
- Вольвач и др. (Volvach A., Berezhnoy A., Khavroshkin O., et al.) // Kinematics and Physics of Celestial Bodies. 2005. V. 21. Issue 1. P. 60.
- Вольвач и др. (Volvach A.E., Berezhnoy A.A., Foing B., et al.) // Kinematika i Fizika Nebesnykh Tel. 2009. V. 25. № 4. P. 277.
- Гохберг (Gokhberg M.B.) // Earthquake prediction: Seismoelectromagnetic phenomena. Amsterdam: Gordon and Breach Publishers. 1995.
- Грималски и др. (Grimalsky V., Torres A. J., Zuniga C., et al.) // Natural Hazards and Earth System Sciences. 2004. V. 4. P. 793.
- Кротиков В.Д., Троицкий В.С. // Радиоизлучение и природа Луны. УФН. 1963. Т. 81. Вып. 4.
- Ортіз и др. (Ortiz J.L., Quesada J.A., Aceituno J., et al.) // Astrophys. J. 2002. V. 576. P. 567.
- Осаки и др. (Osaki H., Hiroshi O., Yasuhiro K., et al.) // J. Commun. Res. Laboratory. 2001. V. 48. P. 159.
- Сатоши и др. (Сатоши Танака, Хаврошкін О.Б., Цыплаков В.В.) // Інженерна фізика. М.: Начтехлитиздат. 2011. (в печаті).
- Сурков В.В. // Электромагнитные эффекты при землетрясениях и взрывах. Моск. гос. инж.-физ. ин-т. М.: 2000.
- Такано и др. (Takano T., Maki K., Soma E., et al.) // Proc. 4th European Conference on Space Debris. SA. ESOC. Darmstadt. Germany. 2005. P. 501.
- Фізическая энциклопедия // М.: Советская энциклопедия. 1990. Т. 2.
- Хаврошкін О.Б. // ОІФЗ РАН. М.: 1999.
- Хаврошкін и др. (Khavroshkin O.B., Tsypakov V.V., Vidmont N.A.) // Microsymposium-32. On Comparative Planetology. Abstracts. 2000. Moscow. Russia.
- Хаврошкін и др. (Khavroshkin O.B., Tsypakov V.V., Poperechenko B.A., et al.) // Doklady Earth Sciences. 2001. V. 376. №. 1. P. 90.
- Хаврошкін и др. (Хаврошкін О.Б., Цыплаков В.В., Собко А.А.) // Інженерна фізика. М.: Начтехлитиздат. 2008. С. 31.
- Хаврошкін и Цыплаков (Khavroshkin O.B. and Tsypakov V.V.) // Doklady Earth Sciences. 2001. V. 376. P. 90.